

Zbigniew RUDNICKI

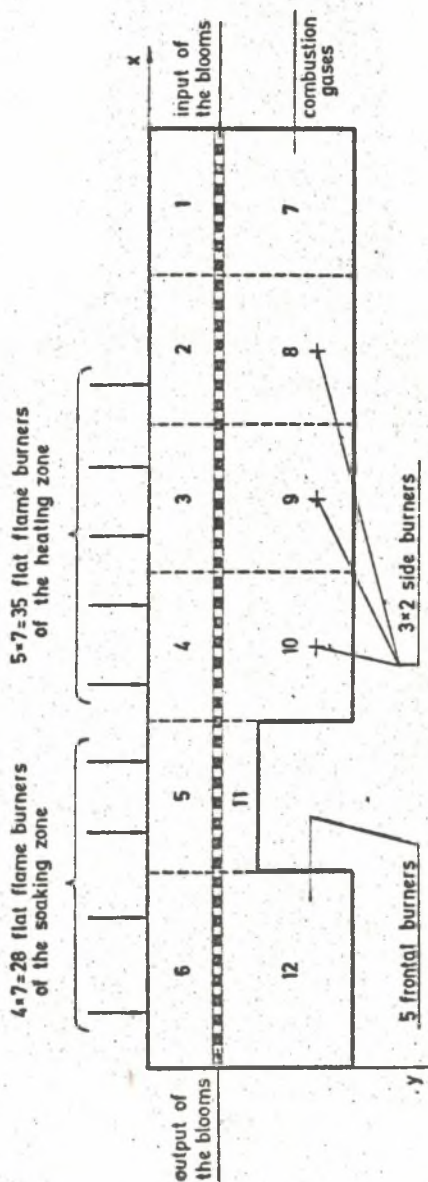
Instytut Techniki Ciepłej
Politechniki Śląskiej

MATEMATYCZNY MODEL PRZEPIYU CIEPŁA W DWOSTRONNIE OGRZEWANYM POKROCZNYM PIECU GRZEJNYM

Streszczenie. W pracy przedstawiono opis matematycznego modelu przepływu ciepła w piecu o działaniu ciągłym. Przestrzeń roboczą pieca podzielono na izotermiczne elementy objętościowe oraz powierzchniowe. Różnicowy podział przestrzeni pieca służy do wyznaczenia pola temperatury. Do analizy radiacyjnego przepływu ciepła zastosowano metodę Monte Carlo. W nagrzewanych kęsiskach rozpatruje się dwuwymiarowe nieustalone pole temperatury. Strumienie paliwa dobiera się tak, aby spełnione zostały temperaturowe wymagania odnośnie wsadu przy wypływie z pieca.

1. Opis pokročznego pieca grzejnego.

Do rozważań przyjęto geometryczny model pieca, którego komora ma kształt zbliżony do prostopadkościanu [2]. Założono, że znane są: rozmiary komory pieca, wydajność pieca, rozmiary i gatunek stali nagrzewanego materiału, początkowa temperatura materiału, rodzaj i parametry paliwa. Podział przestrzeni roboczej na strefy oraz usytuowanie palników przedstawiono na rysunku 1. Piec o maksymalnej wydajności 180 t/h służy do nagrzewania kęsisk ze stali niskostopowej o przekrojach od $0,14 \times 0,14$ m do $0,25 \times 0,2$ m i długościach do 13,6 m. W piecu nagrzewa się kęsiska o początkowej temperaturze 20°C . Końcowa temperatura wsadu, liczona jako średnia w przekroju poprzecznym winna wynosić 1200°C . W sklepieniu pieca zainstalowano palniki płaskopłomienne: w strefie grzewczej górnej o mocy nominalnej $1,16 \cdot 10^3$ kW, w górnej strefie wyrównawczej o mocy nominalnej $0,35 \cdot 10^3$ kW. Dolna strefa grzewcza opalana jest palnikami o spalaniu objętościowym o mocy nominalnej $6,5 \cdot 10^3$ kW. W dolnej strefie wyrównawczej zainstalowano palniki podobnego typu lecz o mocy $1,62 \cdot 10^3$ kW. Piec opalany jest gazem utworzonym ze zmieszania gazu wielkopieczowego i koksowniczego. Do obliczeń przyjęto wartość liczbową $(MW_d)_n = 169\ 000$ kJ/kmol. W piecu stosuje się podgrzewanie substratów spalania: powietrze do około 770 K, gaz wielkopieczowy do około 670 K.



Rys. 1. Usytuowanie technologicznych oraz obliczeniowych stref piece.

2. Model przepływu spalin.

Rozpatrując przepływ ciepła i spalin w komorze pieca wyróżniono dwa-
naście stref obliczeniowych /Rys. 1/. Założono, że przepływ spalin między
strefami odbywa się na skutek różnicy średnich ciśnień w strefach.
Uwzględniono przy tym odpowiednie opory przepływu. Przy tych założeniach
otrzymuje się zależności

$$\bigwedge_{i=2, \dots, 12} p(i) - p(i-1) = \xi_x \rho(i) \frac{w_x^2(i)}{2} \quad /1/$$

$$\bigwedge_{i=1, \dots, 6} p(i) - p(i+6) = \xi_y \rho(i) \frac{w_y^2(i)}{2} \quad /2/$$

Dla elementów gazowych obowiązują równania bilansu substancji :

$$\bigwedge_{i=1, \dots, 6} \dot{P}(i) n^n (Mv)_n \rho_n + A_x(i+1) \rho(i+1) w_x(i+1) = A_y(i) \rho(i) w_y(i) + A_x(i) \rho(i) w_x(i) \quad /3/$$

$$\bigwedge_{i=8, \dots, 12} \dot{P}(i) n^n (Mv)_n \rho_n + A_x(i+1) \rho(i+1) w_x(i+1) + A_y(i) \rho(i) w_y(i) - \rho(i-6) w_y(i) = A_x(i) \rho(i) w_x(i) \quad /4/$$

W równaniach /1/, ..., /4/ przyjęto :

$$w_x(1) = w_x(7) = w_x(13) = 0, p(6) = 0$$

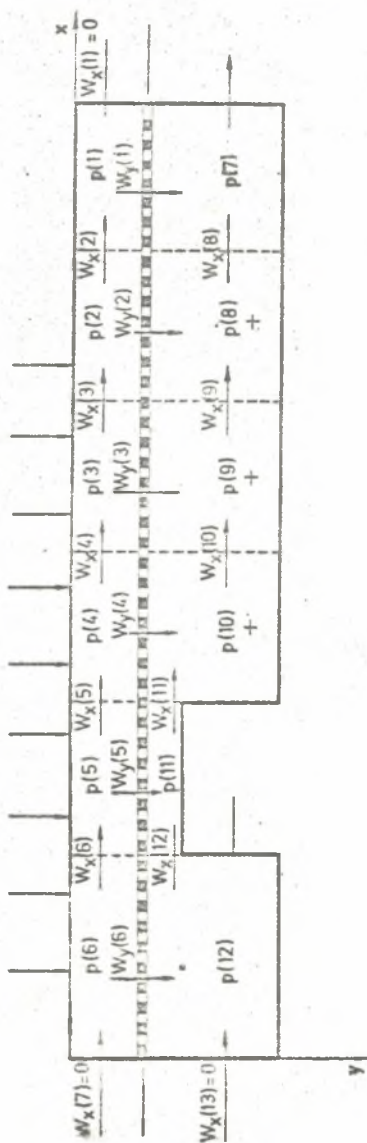
oraz

$$\bigwedge_{i=1, \dots, 12} \rho(i) = \frac{\rho_n T_n}{P_n} \frac{p(i)}{T_g(i)} \approx \frac{\rho_n T_n}{T_g(i)}$$

W wyniku rozwiązania układu równań /1/, /2/, /3/, /4/ otrzymuje się
pole prędkości w_x oraz w_y . Schemat rozprawy spalin w piecu przedstawiono
na rysunku 2.

3. Przepływ ciepła w komorze pieca.

Zagadnienie przepływu ciepła w zamkniętej komorze wypełnionej ośrod-
kiem pochłaniająco-promieniującym było przedmiotem wielu prac, między
innymi [3, 4, 5, 6, 7, 8, 2, 1]. Podstawowym problemem przy rozpatrywa-
niu tych zagadnień jest wyznaczenie pola temperatury w nieizotermicznej
bryle gazowej oraz w zespole ścianek otaczających tę bryłę. W wyniku



Rys.2. Schemat rozpiwy spaliny w piecu.

różnicowego podziału przestrzeni pieca, każdemu elementowi przypisana jest nieznaną temperaturą. W celu jej wyznaczenia ułożono równania bilansu energii dla wszystkich wyróżnionych elementów izotermicznych. W ten sposób otrzymano nieliniowy układ równań. Układ ten rozwiązano metodą obliczeń iteracyjnych, gdyż dla określenia radiacyjnych oraz konwekcyjnych strumieni energii wymagana jest znajomość a priori pola temperatury. Dowolny element w rozpatrywanym układzie wymienia energię przez promieniowanie ze wszystkimi elementami w układzie. Strumień energii radiacyjnej emitowany przez wszystkie elementy pieca i pochłonięty w bilansowym elemencie można przedstawić równaniem :

$$\sum_{i,j} \dot{E}_a(i,j) = \sum_{m,n} \Psi_{(m,n) \rightarrow (i,j)} \dot{E}_{(m,n)} \quad /5/$$

Wielkość $\Psi_{(m,n) \rightarrow (i,j)}$ zwana współczynnikiem opromieniowania elementu (i,j) przez element (m,n) określona jest równaniem :

$$\Psi_{(m,n) \rightarrow (i,j)} = \frac{\dot{E}_{(m,n) \rightarrow (i,j)}}{\dot{E}_{(m,n)}} \approx \frac{N_{(m,n) \rightarrow (i,j)}}{N_{(m,n)}} \quad /6/$$

Współczynniki opromieniowania wyznaczono za pomocą metody Monte Carlo [2]. Procedurę śledzenia porcji energii w metodzie Monte Carlo oparto o emisję netto bryły gazowej.

4. Równania bilansu energii dla elementów izotermicznych.

Równanie bilansu energii dla kształtki palnikowej w i-tej strefie pieca ma postać :

$$\dot{E}_a(i,j) + F(i,j)\alpha(i,j)[T_f(i) - T(i,j)] = \dot{E}(i,j) \quad /7/$$

Przyjęto, że spalanie zupełne i całkowite odbywa się w cienkiej warstwie /dotyczy palników płaskopłomiennych/ przylegającej do kształtki. Warstwa ta rozciąga się tylko na powierzchnię kształtki. Z warstwy tej do komory pieca przepływają spaliny o temperaturze płomienia. Przyjęto, że przepływ ciepła między płomieniem a kształtką odbywa się głównie przez konwekcję. Część spalin tworzy strumień spalin recyrkulujących. Pominięto przewodzenie ciepła od kształtki do otoczenia. Bilans energii dla warstwy płomienia w i-tej strefie pieca wyraża równanie :

$$\begin{aligned} & \dot{P}(i) [(M_{w_d})_n + q_r] + \dot{P}(i) n^* (M_{c_p}) f [T_g(i,j) - T_n] = \\ & = \dot{P}(i) n^* (M_{c_p}) (1 + f) [T_f(i) - T_n] + F(i,7)\alpha(i,7) [T_f(i) - T(i,j)] \quad /8/ \end{aligned}$$

Założono, że temperatura spalin opuszczających strefę równa się średniej temperaturze spalin elementów sąsiednich.

Równanie bilansu energii dla elementu gazowego w górnej części pieca ma postać :

$$\begin{aligned} \dot{E}_a(i, j) + \dot{P}(i) n^m (Mc_p) (1+f) [T_f(i) - T_n] + \dot{n}_x(i+1) (Mc_p) [T_g(i+1, j) - \\ - T_n] = \dot{Q}_c(i) + \dot{Q}_{g, \alpha}(i) + \dot{E}(i, j) + \dot{n}_x(i) (Mc_p) [T_g(i, j) - T_n] + \dot{n}_y(i) \cdot \\ \cdot (Mc_p) [T_g(i, j) - T_n] + \dot{P}(i) n^m (Mc_p) f [T_g(i, j) - T_n]. \end{aligned}$$

W podobny sposób można wyrazić bilans energii elementu gazowego w dolnej części pieca. Równania bilansu energii dla pozostałych elementów powierzchniowych mają wspólną postać :

$$\dot{E}_a(i, j) + \dot{Q}_{\alpha}(i, j) = \dot{E}(i, j) + F(i, j) \frac{T(i, j) - T_z(i, j)}{R_{\lambda}(i, j)} + \dot{Q}_c(i) \quad /9/$$

5. Pole temperatury w kesiskach.

W celu wyznaczenia nieustalonego pola temperatury we wnętrzu kęsiska zastosowano metodę różnicową z ilorzem różnicowym przednim. Proces nagrzewania prowadzi się przy zmiennym w czasie drugim warunku brzegowym. Przyjęto następujące założenia :

- we wnętrzu kęsiska panuje dwuwymiarowe pole temperatury,
- suma radiacyjnego oraz konwekcyjnego strumienia ciepła brutto zmienia się skokowo wzdłuż długości pieca,
- uwzględniono wpływ temperatury na pojemność cieplną właściwą oraz współczynnik przewodzenia ciepła nagrzewanego kęsiska,
- uwzględnia się proces tworzenia zgorzliny.

Na rysunku 3 przedstawiono różnicowy podział połowy poprzecznego przekroju kwadratowego kęsiska.

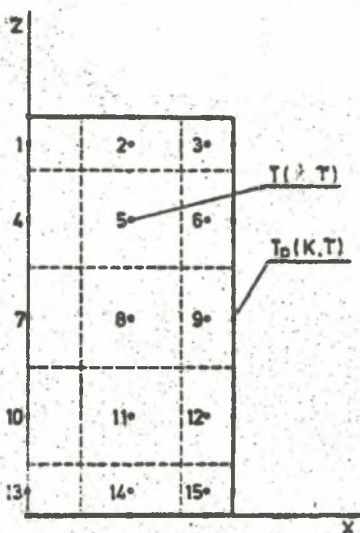
Równanie bilansu energii dla k-tego przypowierzchniowego elementu różnicowego ma postać

$$\sum_1 \dot{Q}_{\lambda}(1, \tau) + \dot{Q}_p(k, \tau) = v(k) \rho(k) \cdot c_p(k) \frac{T(k, \tau+1) - T(k, \tau)}{\Delta \tau(i)} \quad /10/$$

Strumienie ciepła netto $\dot{Q}_p(k, \tau)$, wnikające do przypowierzchniowych węzłów wyraża równanie :

$$\frac{\dot{Q}_p(k, \tau)}{F(k)} = \frac{\dot{E}_a(i, j) + \dot{Q}_{\alpha}(i, j)}{F(i, j)} + \dot{q}_z(k, \tau) - \sigma \varepsilon(i, j) \cdot T_p^4(k, \tau) \quad /11/$$

Efekt cieplny tworzenia zgorzliny wyznaczono w oparciu o opracowania [9, 2]



Rys. 3. Elementy izotermiczne wyróżnione w połowie przekroju poprzecznego kęsiska

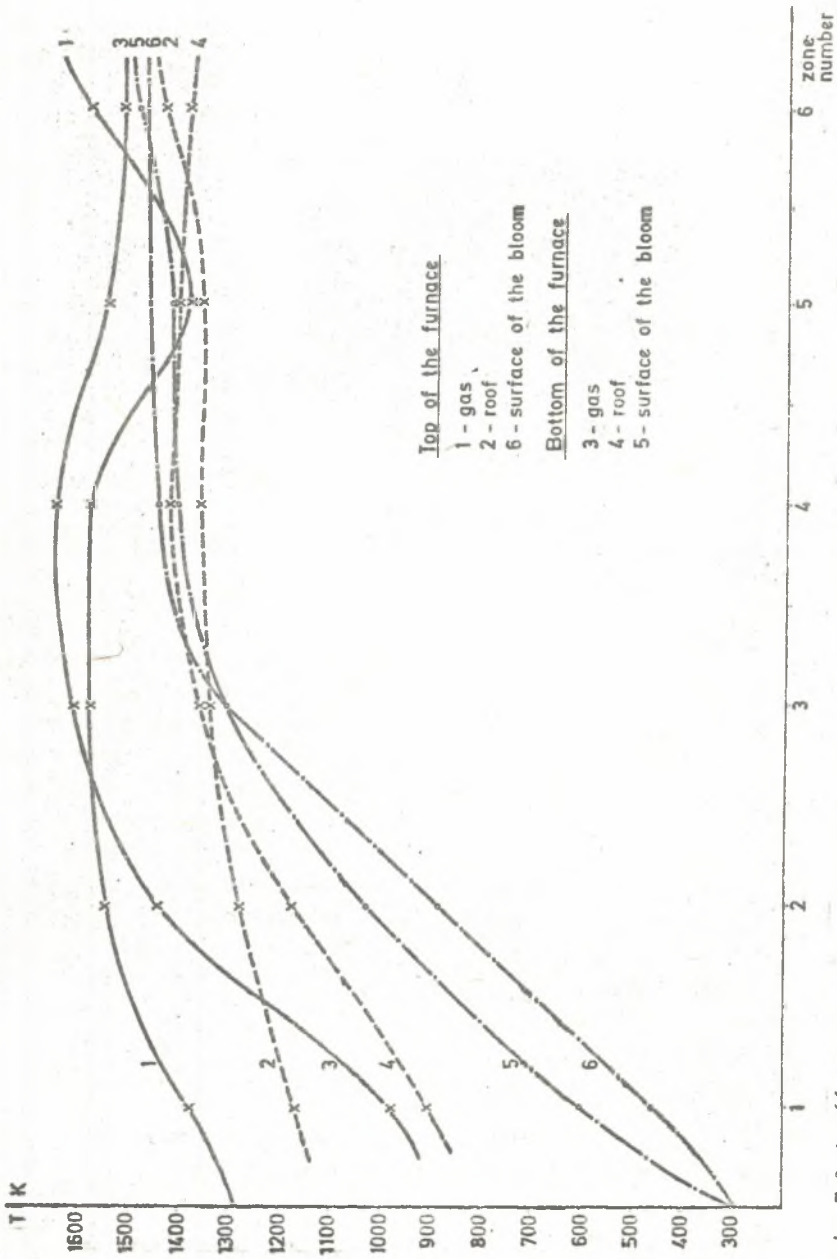
6. Procedura obliczeniowa

Na początku założono wstępne pole temperatury elementów izotermicznych w piecu. W oparciu o założone temperatury oraz współczynniki opromieniania wyznaczono wielkości $E_a(1,j)$ oraz $\dot{Q}_{\alpha}(1,j)$. Następnie przystąpiono do obliczenia pola temperatury we wnętrzu i na powierzchni nagrzewanych kęsisk oraz do wyznaczenia temperatur elementów gazowych i ścian pieca. Temperatury elementów gazowych oraz ścian pieca wyznaczone z równań bilansu energii. W ten sposób wyznaczono nowe pole temperatury, które w przypadku braku należytej zbliżności stanowi punkt startowy do następnej iteracji. W wyniku zakończenia procesu iteracyjnego dla założonych strumieni paliwa otrzymano pole temperatury elementów pieca, w tym również dla wsadu.

7. Wyniki obliczeń

W oparciu o opracowany model matematyczny wyznaczono pole temperatury oraz obliczono strumienia paliwa, które winny zapewnić właściwe podgrzanie kęsisk w piecu pokrocznym zainstalowanym w Walcowni Średniej Muty Łatowice. Obliczenia wykonano dla następujących danych :

- rozmiary kęsisk $0,16 \text{ m} \times 0,16 \text{ m} \times 13,6 \text{ m}$,
- skok pokroczu $0,3 \text{ m}$,
- wydajność pieca 180 t/h .



Rys. 4. Zależność temperatury sklepienia, gazu oraz powierzchni kąsisk od długości pieca,

Wynikowe pole temperatury najważniejszych elementów pieca przedstawiono na rys. 4. Wymagane strumienie paliwa, które należy doprowadzić do poszczególnych stref pieca wynoszą :

$$\sum_{i=2}^4 \dot{P}(i) = 0,151 \frac{\text{kmol}}{\text{s}}, \quad \sum_{i=5}^6 \dot{P}(i) = 0,0381 \frac{\text{kmol}}{\text{s}}$$

$$\sum_{i=8}^{10} \dot{P}(i) = 0,148 \frac{\text{kmol}}{\text{s}}, \quad \dot{P}(12) = 0,0243 \frac{\text{kmol}}{\text{s}}$$

Przedstawiony model może być również wykorzystany do obliczeń optymalizacji nagrzewania wsadu w tego typu piecach.

Oznaczenia :

- A - pole przekroju strumienia spalin, m^2 ,
- f - stopień recyrkulacji,
- (Mv) - molowa objętość właściwa, $\text{m}^3 \cdot \text{kg}^{-1}$,
- n - strumień spalin opuszczających strefę, $\text{kmol} \cdot \text{s}^{-1}$,
- n^m - ilość kmol spalin przypadających na 1 kmol paliwa,
- p - ciśnienie, Pa,
- q_z - efekt cieplny tworzenia się zgorzeliny, $\text{W} \cdot \text{m}^{-2}$,
- q_r - ciepło rekuperacji, $\text{J} \cdot \text{kmol}^{-1}$,
- R - opór przewodzenia ciepła, $\text{m}^2 \cdot \text{K} \cdot \text{W}^{-1}$,
- $\frac{\xi}{2}$ - współczynnik oporu hydraulicznego,

Wskaźniki :

- a - absorpcja
- c - chłodzenie wyparkowe lub tradycyjne
- f - płomień
- p - powierzchnia
- z - powierzchnia ścian zewnętrznych

Indeksy

- m, n, i, j - numer strefy oraz elementu
- τ - czas

LITERATURA

- [1] J.Nadziakiewicz, Z.Rudnicki : Numeryczny opis procesów cieplnych w piecu grzejnym o działaniu ciągłym. Archiwum Hutnictwa, 26, 637-649 /1981/.

- [2] Opracowanie matematycznego modelu nagrzewania wsadu w piecach pokrocznych z wielostronnym nagrzewaniem. Praca n.b. Instytutu Techniki Ciepłej w Gliwicach NB-163/RME-3/76, Gliwice 1976-1979.
- [3] J.T.Bevans, R.V.Dunkle : Radiant Interchange Within an Enclosure, Journal of Heat Transfer, 2, 1-19 /1960/.
- [4] P.Cannon : The Calculation of Radiative Heat Flux in Furnace Enclosure using the Monte Carlo Method M.Sc. Thesis Chem.Engng. University of New Brunswick 1967.
- [5] H.C.Hottel, A.F.Sarofim : Radiative Transfer, Mc-Graw Hill, New York 1957.
- [6] Z.Rudnicki : Zastosowanie metody Monte Carlo do wyznaczania pola temperatur w przestrzeni roboczej pokrocznego pieca grzejnego. Praca doktorska, Politechnika Śląska, Gliwice 1972.
- [7] P.Gruszka, Z.Rudnicki : Uproszczony model matematyczny nagrzewania wsadu w piecu pokrocznym. Archiwum Hutnictwa, 21, 613-631, /1976/
- [8] J.Nadziakiewicz, Z.Rudnicki : Mathematical model of heat transfer in the enclosure of a walking beam furnace, Wärme Gas International vol. 30 /1981/ 5, pp 265-269.
- [9] E.J.Kazancev, T.Lorang : Revue Universelle des Mines 2, 11 /1964/.

МАТЕМАТИЧЕСКАЯ МОДЕЛЬ ТЕПЛООБМЕНА В ПЕЧИ С ШАГАЮЩИМ ПОДОМ

Резюме

В работе представлена математическая модель теплообмена в печи с шагающим подом. Для вычисления температурного поля применён зональный метод. При помощи этой модели можно получить температуры газовых элементов, стен печи а также температуры загружаемого материала. Потоки топлива вычислены с помощью итерационного метода.

MATHEMATICAL MODEL OF HEAT TRANSFER IN THE ENCLOSURE OF A WALKING BEAM FURNACE

Summary

A description of a mathematical model of heat transfer in the top and bottom fired walking beam furnace is presented. To determine temperatures of elements in the furnace the zone model is applied. The model calculates the temperatures of the gas and walls as well as the transient temperature field inside the bloom. The fuel flow rates in the zones of the furnace are determined by iteration to match the bloom discharging temperature requirements.

Praca wpłynęła do redakcji w maju 1985 r.

Recenzent: prof. dr hab. inż. Stefan Wiśniewski